





MATERIAIS DE  
APLICAÇÃO NA  
ENGENHARIA  
NUCLEAR




Materiais dos  
Reatores  
Nucleares



Profs. Arnaldo Andrade  
e Raquel Lobo



**Ipen**



## What Really IS a DPA?

---


$$\frac{DPA}{sec} = \int_0^{E_{max}} \Phi(E_i) * \sigma_D(E_i) dE_i$$

$\Phi(E_i)$  – fluxo de partículas com energia  $E_i$

$\sigma_D(E_i)$  - Seção transversal de deslocamento

$$\sigma_D(E_i) = \int_{T_{min}}^{T_{max}} \sigma(E_i, T) v(T) dT$$


---

## What Really IS a DPA?

$$\frac{DPA}{sec} = \int_0^{E_{max}} \Phi(E_i) * \sigma_D(E_i) dE_i$$

$\sigma(E_i, T)$  – probabilidade de que um átomo deslocado por uma partícula com energia  $E_i$  saia com energia de recuo T (seção transversal de transferência de energia diferencial)

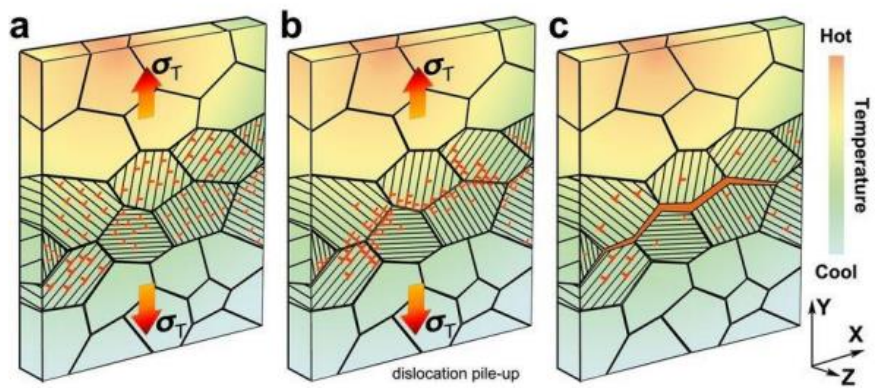
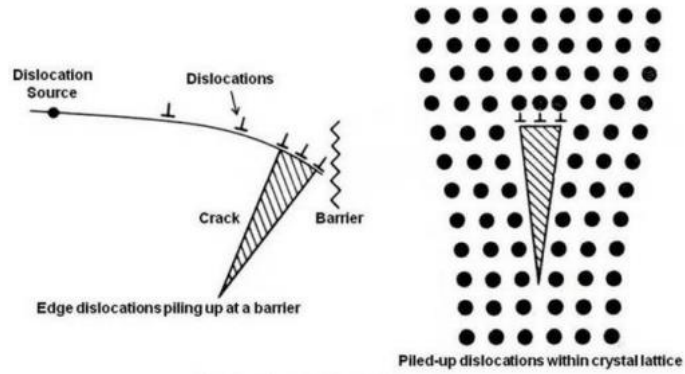
$v(T)$  – número de deslocamentos atômicos de um átomo com energia T

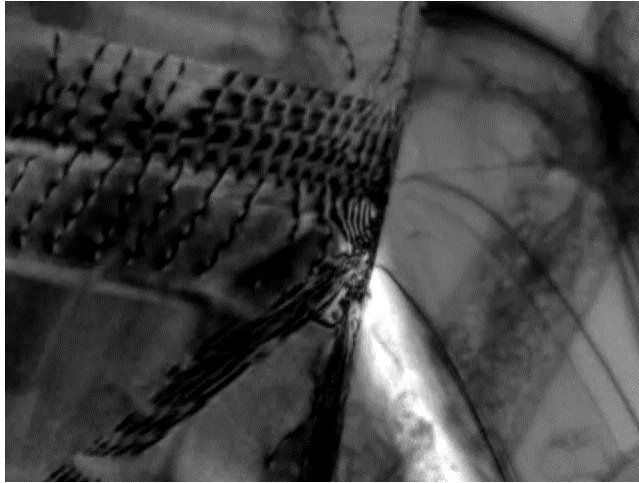
$$\sigma_D(E_i) = \int_{T_{min}}^{T_{max}} \sigma(E_i, T) v(T) dT$$

## Noções Básicas de Danos da Radiação nos Materiais

- Efeitos Básicos da Radiação Neutrônica
- Cascata de Deslocamento
- Causas e Consequências desses Danos
- Fabricação do Combustível Nuclear
- Interação Combustível – Revestimento
- Fatores Limitantes da Vida do Combustível

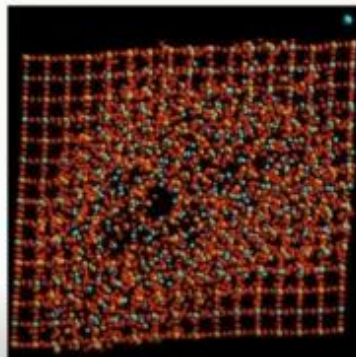
## Mecanismo de Formação de Trinca



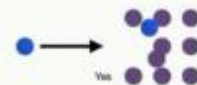
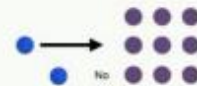


### What effect do the moving particles have?

- Depends on the energy
  - High enough it can induce damage
- Level of damage can be significant



K Trachenko



## Escalas de Tempo e de Energia para os Danos da Radiação devido aos Deslocamentos de Átomos

Tempo	Energia
Cascade Creation $10^{-13}$ s	Neutron or Proton $10^5 - 10^9$ eV
Unstable Matrix $10^{-11}$ s	Primary Knock-on Atom $10^4 - 10^5$ eV
Interstitial Diffusion $10^{-6}$ s	Displaced Secondary $10^2 - 10^3$ eV
Vacancy Diffusion $10^0$ s	Unstable Matrix $10^0$ eV
Microstructural Evolution $10^6$ s	Thermal Diffusion kT

## Displacement Energy

Atoms arranged in crystal structures,  
thus FP displacement energy depends on PKA direction:

In  $UO_2$ :

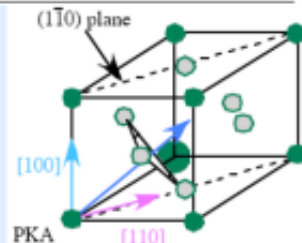
Threshold displacement energies in  $UO_2$  calculated using the saddle approximation method within the Mori-Littleton approach

[uvw]	[100]	[110]	[130]	[150]	[214]	[013]	[141]	[232]
$E_d(O)$ (eV)	-	16	28	-	21	-	22	18
$E_d(U)$ (eV)	52 (39)	85 (51)	46	44	79	43	55	74

Meis and Charlier, 2005

On average:

- ▶  $E_d(O)$  - 20 eV
- ▶  $E_d(U)$  - 50 eV
- ▶ For most metals  $E_d \sim 25-50$  eV



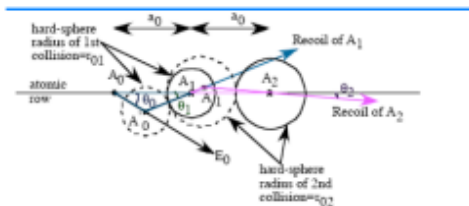
## Efeitos na Rede

Átomos na maioria dos sólidos estão localizados em uma estrutura de rede regular. Isso afeta a capacidade do PKA em causar deslocamentos atômicos por Focalização e tunelamento

Focalização: Transferência de energia e átomos ao longo de uma fileira atômica em colisões quase frontais

Tunelamento: movimento de PKA ao longo de longas distâncias em direção aberta na rede

- ➡ Eles afetam o número e a configuração de cascatas de colisão nos sólidos
- ➡ Energia transferida por deslocamentos pode estar bem abaixo de  $E_d$
- ➡ Átomos podem viajar longas distâncias



## Focalização (Focusing)

O primeiro átomo  $A_0$  é permanentemente deslocado de sua posição original da rede e cai na posição ocupada por  $A_1$

Cada colisão ao longo da linha atômica torna-se mais frontal que a colisão anterior, por isso o nome de focalização

O esquema acima mostra uma linha de átomos  $\{100\}$  em uma rede cúbica simples, com posições iniciais  $A_0, A_1, A_2, \dots$

O primeiro átomo  $A_0$  recebe energia  $E_0$ , em uma direção  $\theta_0$ ; move de  $A_0$  para  $A_1$ , onde atinge o átomo  $A_1$

O átomo  $A_1$  se desloca de sua posição original com energia menor  $E_1$  e, se ocorrer a focalização, em um ângulo menor  $\theta_1$

O processo continua com  $\theta_i > \theta_{i+1}$  até que a energia  $E_{i+1}$  seja muito pequena para deslocar (recolocar) os átomos atingidos por ele

## Focalização

### Ângulo crítico para focalização

Para cada energia de recuo  $E_0$ , há um ângulo crítico correspondente  $\theta_{0f}$

Se  $\theta_0 < \theta_{0f}$  - focalização ocorre

Se  $\theta_0 > \theta_{0f}$  - focalização não ocorre

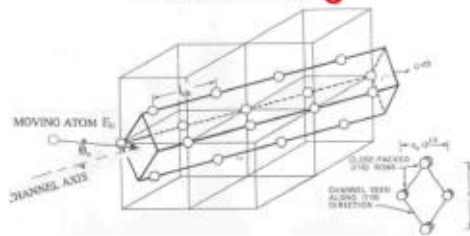
Note que  $\theta_{0f} \uparrow$  quando  $E_0 \downarrow$

### Energia crítica para focalização

Quando a energia de recuo se torna grande o suficiente para que  $\theta_{0f} = 0$ , a energia máxima para a focalização ocorrer, denotada por  $E_f$ , é obtida

## Canalização

### Channeling

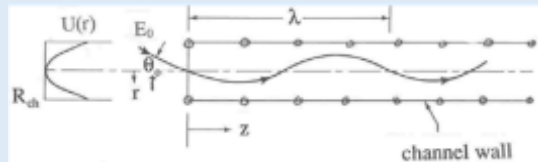


Base experimental: quando íons são disparados em uma folha de monocristal que é mais espessa que a faixa de íons, a penetração dos íons é observada para direções cristalográficas a linha de átomos em empacotamento fechado da rede. O mecanismo é o movimento do íon ao longo de canais limitados pelas linhas atômicas de empacotamento fechado.

O efeito é importante em danos da radiação porque a canalização do íon pode ser um átomo de recuo gerado em uma cascata de colisão.

## Canalização

O movimento dos átomos se movendo é similar ao de uma bola rolando para cima em um barranco inclinado: ele oscila na direção lateral e desacelera vagarosamente na direção axial.



Lateralmente a trajetória pode ser aproximada ao movimento harmônico simples com potencial canal parabólico.

## Channeling

### Critical angle for channeling

For a specified initial recoil energy  $E_0$  a maximum injection angle  $\theta_{0m}$  exists for channeling to occur. In common with focusing, the  $\theta_{0m}$  decreases as  $E_0$  increases. However, there is no maximum energy at which  $\theta_{0m} = 0$ , as there is for focusing

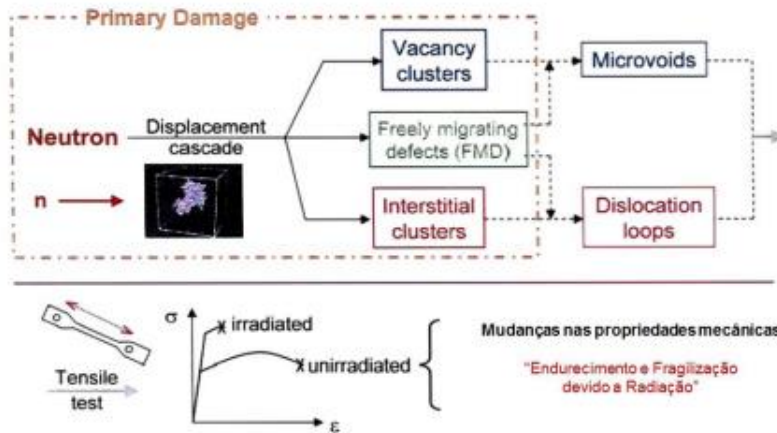
### Critical energy for channeling

When the recoil energy is below  $E_{ch}$  oscillation along the channel can be abruptly interrupted and channeling does not develop

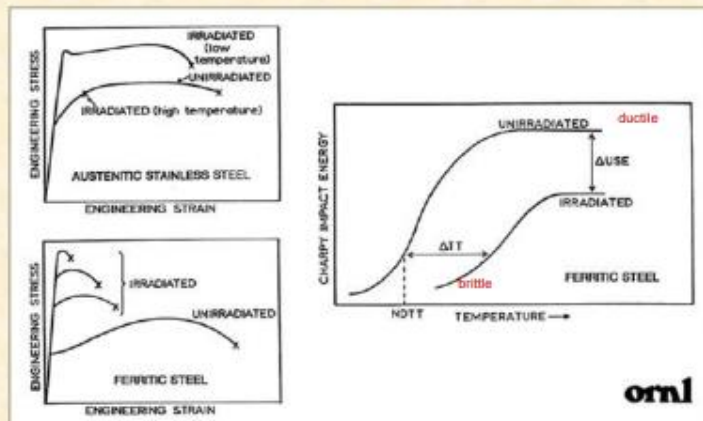
There is no upper limit for  $E_0$



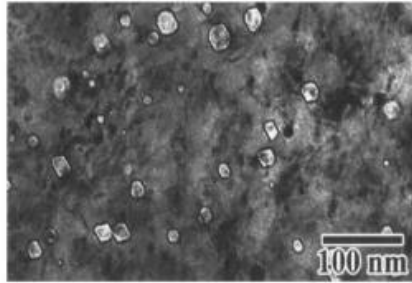
## Efeitos da irradiação nos materiais



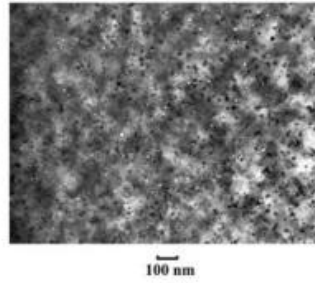
A irradiação neutrônica dos aços aumenta a **resistência mecânica** e diminui a **ductilidade** e a **tenacidade** – os aços ferríticos são mais susceptíveis que os aços inoxidáveis austeníticos



## Dano da Radiação: Acumulação de Defeitos



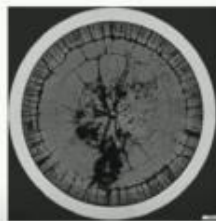
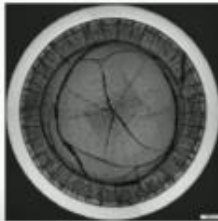
Void creation



Carbide precipitation

### How does it impact the material?

- Significant damage -> significant change in bulk material properties
  - Expansion
  - Cracking
  - Amorphisation
  - Thermal conductivity

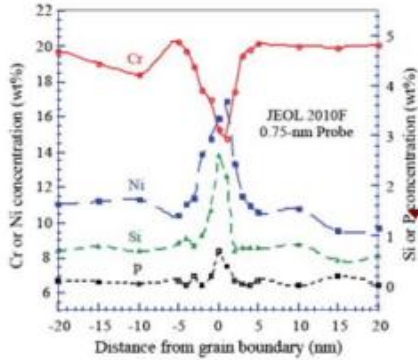


IAEA-TECDOC-1654



Straalsund et al JNM 317 167-74

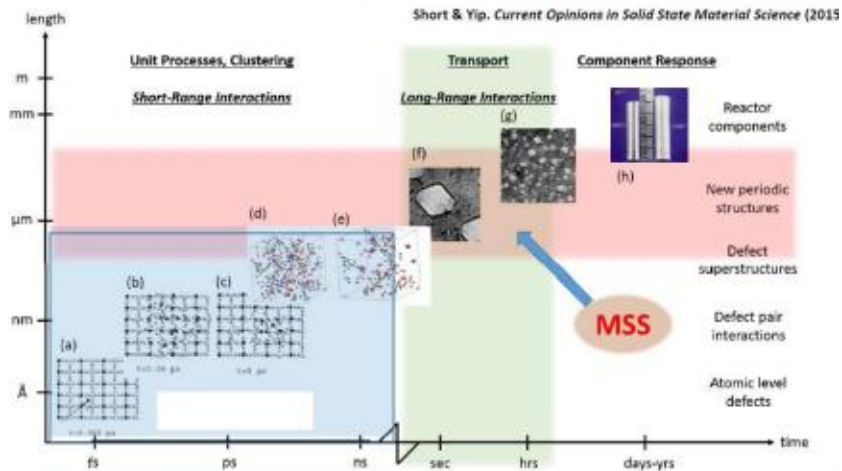
### Dano da Radiação



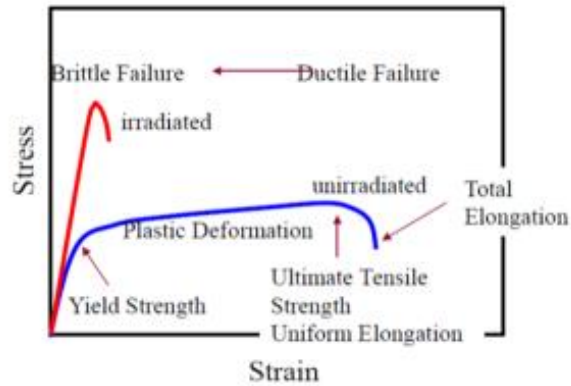
- Radiation accelerates damage mechanisms
- Stabilizes voids
- Induces creep
- Radiation induced segregation (RIS)
- Grain sensitization
- Damage types change with temperature

**Radiation-induced segregation in 300-series stainless steel**  
 Source: G. S. Was et al., *J. Nucl. Mater.*, 411(1-3), pp. 41-50, 2011.

### Pavimentando o caminho até os Efeitos da Radiação



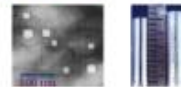
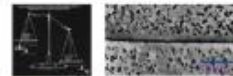
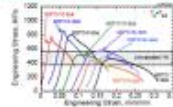
## Dano da Radiação: DPA e Propriedades



Adapted, in part, from T. Allen in: "Materials Reliability and Degradation Management Issues In Nuclear Power Plants, May 4-7, Materials Aging Institute, France"

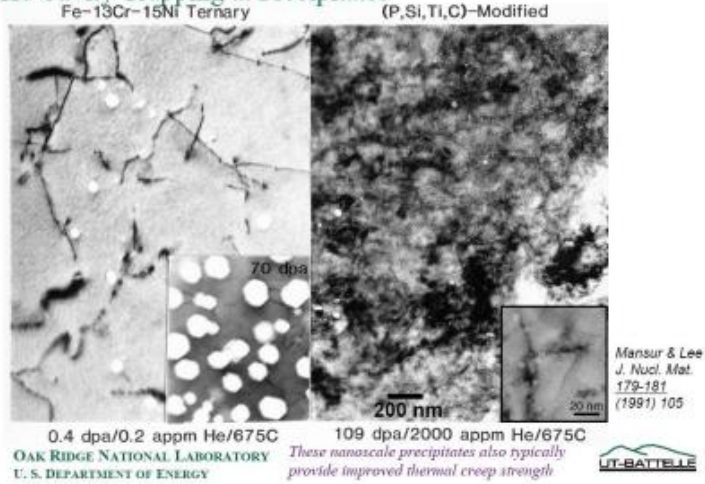
### Radiation Damage can Produce Large Changes in Structural Materials

- Radiation hardening and embrittlement ( $<0.4 T_M$ ,  $>0.1$  dpa)
- Phase instabilities from radiation-induced precipitation ( $0.3-0.6 T_M$ ,  $>10$  dpa)
- Irradiation creep ( $<0.45 T_M$ ,  $>10$  dpa)
- Volumetric swelling from void formation ( $0.3-0.6 T_M$ ,  $>10$  dpa)
- High temperature He embrittlement ( $>0.5 T_M$ ,  $>10$  dpa)

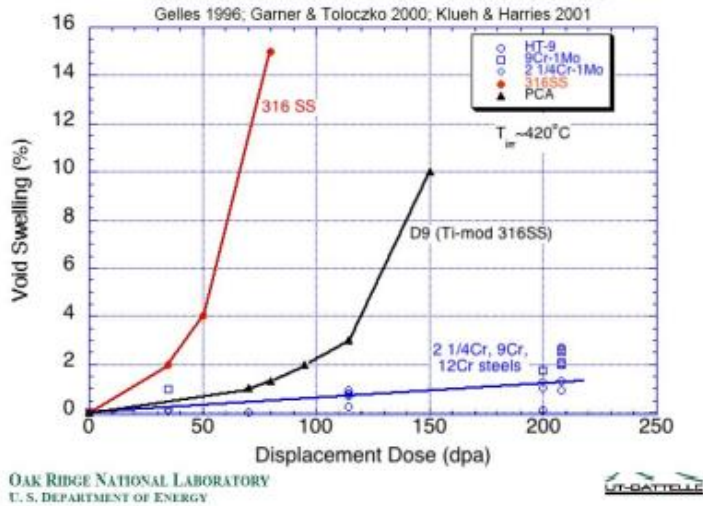


after S.J. Zinkle, *Phys. Plasmas* **12** (2005) 058101

Swelling Resistant Alloys can be developed by Controlling the He Cavity Trapping at Precipitates



Comparison of Void Swelling Behavior in Neutron Irradiated Austenitic and Bainitic/ferritic/martensitic Steels

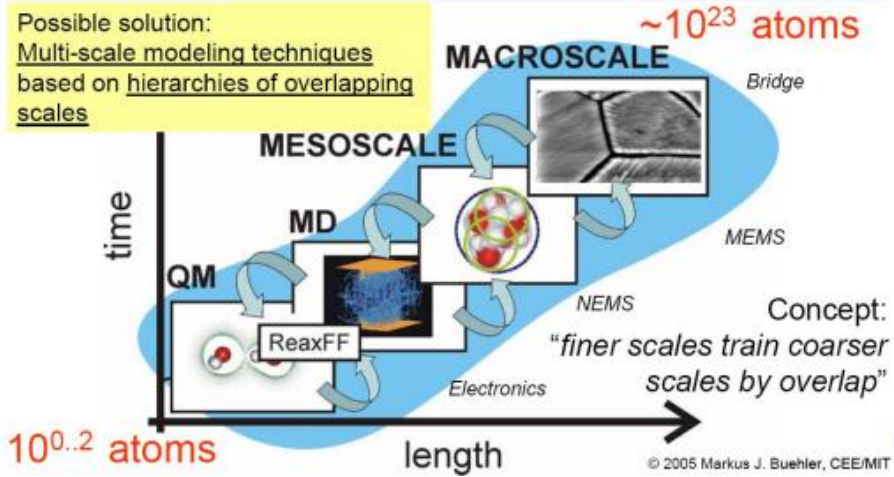




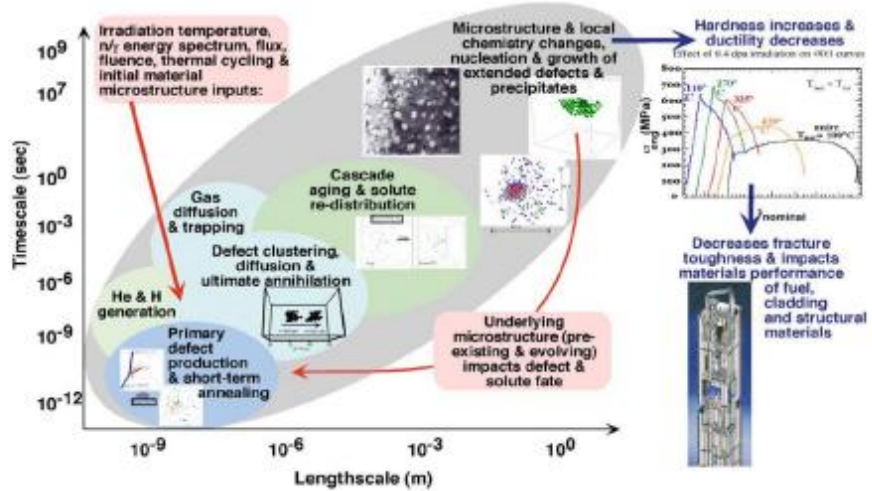
Want: Accuracy of quantum mechanics (QM) in  $10^{23}$  atom systems...

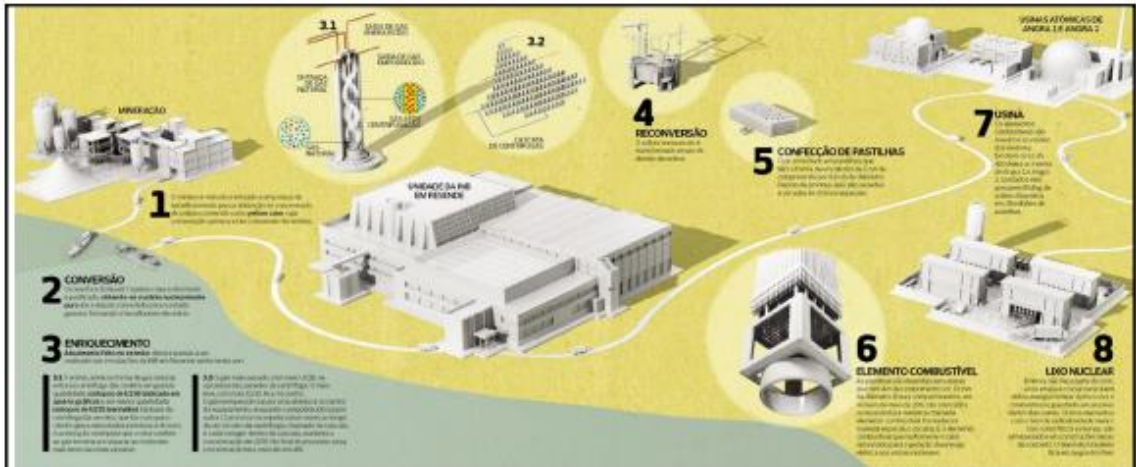
This is impossible (today and in the foreseeable future)

Possible solution:  
Multi-scale modeling techniques  
based on hierarchies of overlapping  
scales

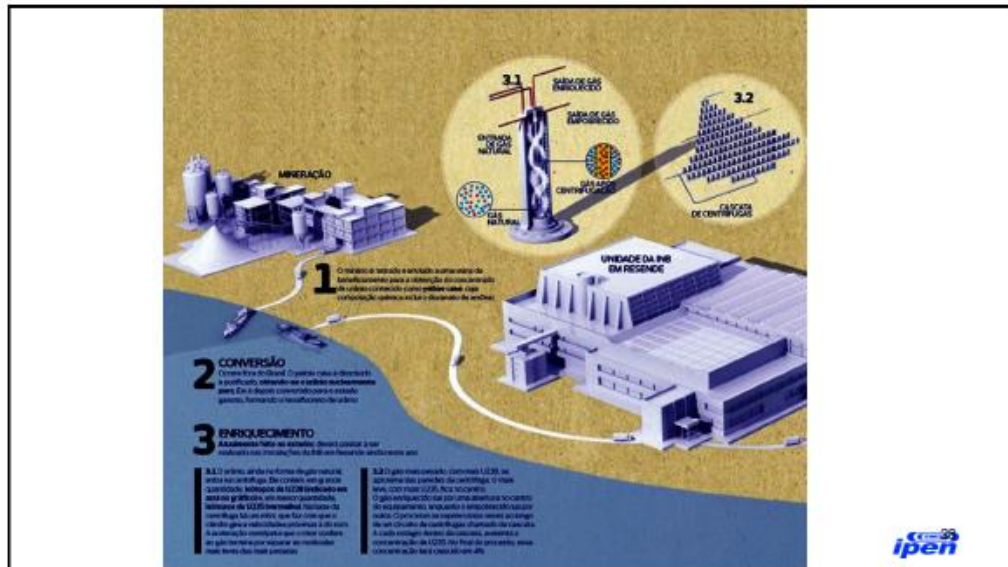


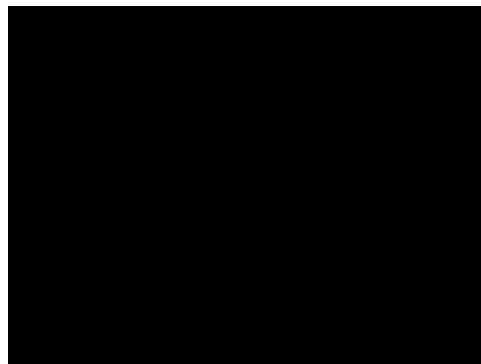
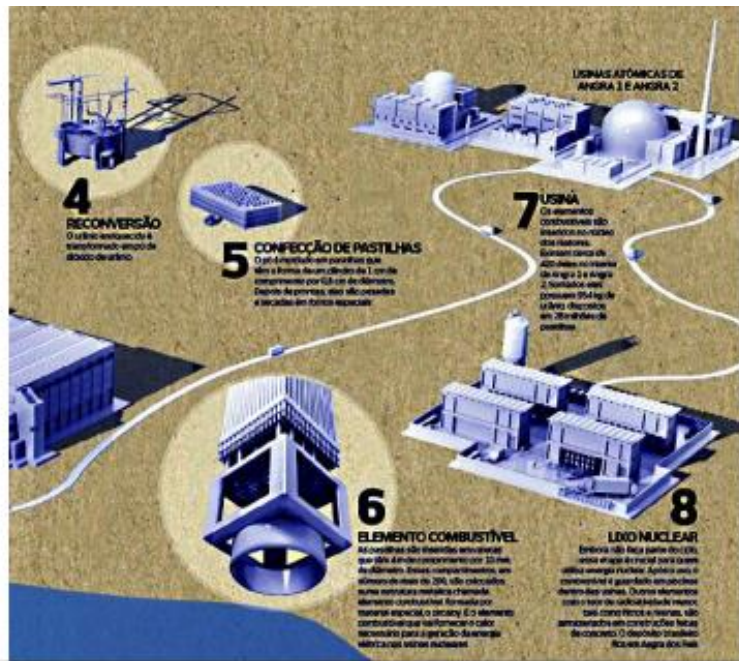
**Radiation damage processes span vast length and time-scales**



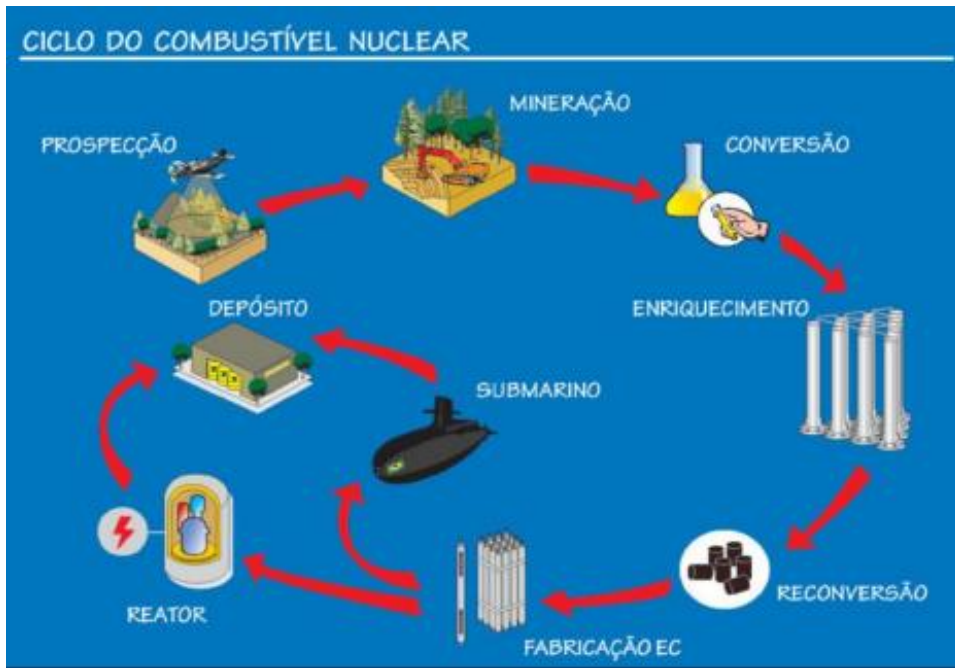


# Ciclo do Combustível - Urânio









## COMBUSTÍVEL NUCLEAR

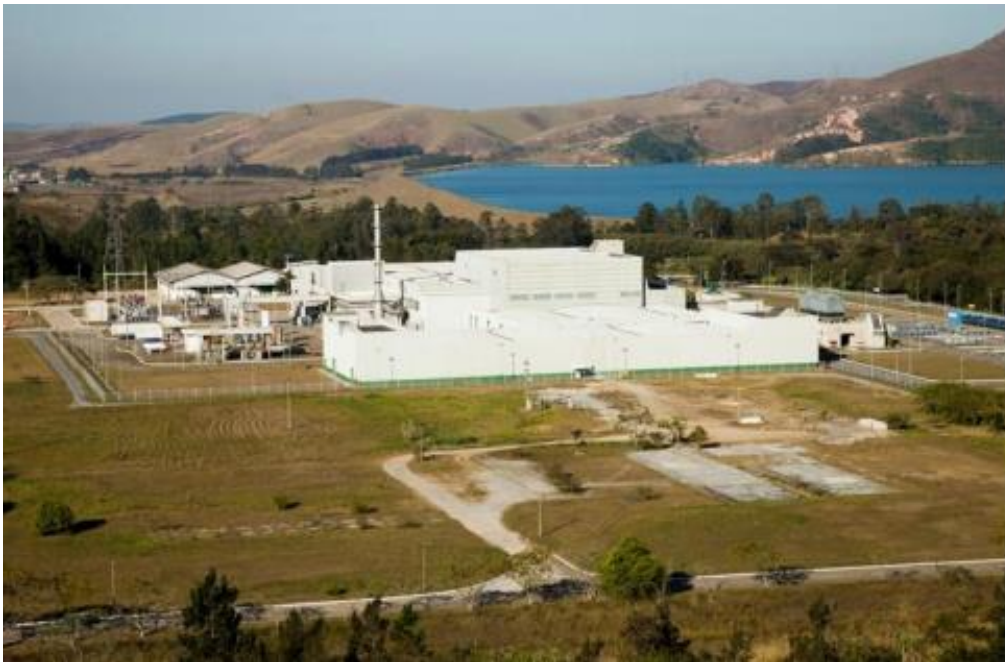
- Atender às necessidades de **ENERGIA**
  - Auto-suficiência na produção de combustível para as *usinas nucleares*
- Atender às necessidades de **DEFESA**
  - Auto-suficiência na produção de combustível para o *protótipo e submarinos*
- Atender às necessidades de **APLICAÇÕES**
  - Auto-suficiência na produção de combustível para os *reatores de pesquisa e produção de radioisótopos*



Resende  
RJ



**Unidade de produção de pastilhas da Fábrica de Combustível Nuclear da INB**



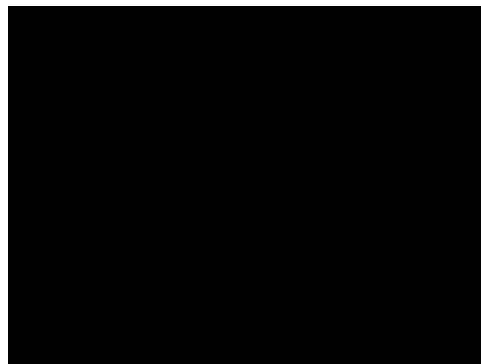




## FCN - COMPONENTES E MONTAGEM



Capacidade instalada:  
240 t/ano de urânio enriquecido



## FCN COMPONENTES E MONTAGEM

### VISTA INTERNA



**INB** INDUSTRIAL  
MOTORES  
DO BRASIL



## Fuel Types

- A nuclear fuel is a removable component that is introduced into a reactor core and contains the U (or Pu) to be fissioned in a reactor
- Nuclear fuels differ widely from reactor to reactor
  - Geometrical configuration of fuel and cladding
    - Fuel rods
    - Fuel plates
    - TRISO pellets
  - Materials used for U-bearing (or Pu) fuel
    - Ceramic compounds
    - Metallic alloys
  - Materials used for cladding
- Fuel-clad system is designed to
  - Produce and transfer heat to the coolant while
  - Prevent fission products from reaching the coolant

## Uranium solid ceramic pellets

- Typical pellets:
  - 0.25" (6.3 mm) diameter
  - 0.50" (12 mm) height
- Pellet fabricated geometry
  - dish and chamfer
  - accommodate swelling
- U.S. Commercial Reactors
  - fuel enriched to 5%  $^{235}\text{U}$
  - $^{238}\text{U}$  breeds  $^{239}\text{Pu}$
  - $^{239}\text{Pu}$  fissions occur



## *TRISO Fuel Particles: Prismatic Fuel System*

- TRISO fuel particles pressed into compacts with graphite matrix
- Fuel assembly has channels for fuel compacts and channels for gas (coolant) flow



TRISO  
Coated  
Particles



Compacts

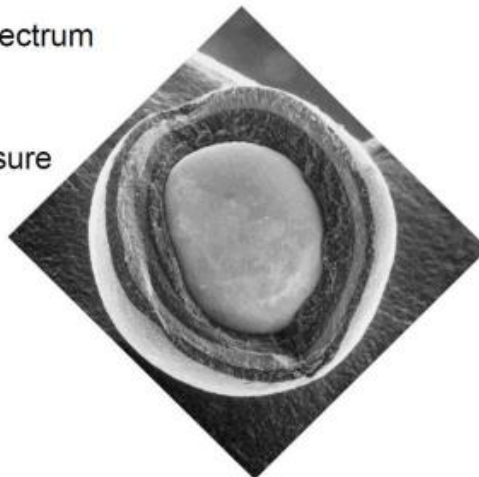


Fuel  
Assembly

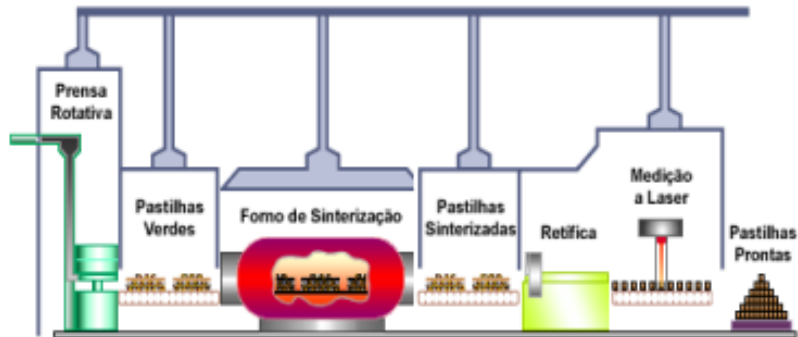
→ →

## *TRISO Particle Fuel*

- Fuel particle for thermal spectrum gas-cooled reactors
- ~0.5 to 0.9 mm sphere
- Particles act as small pressure vessels
- Fission products remain inside coatings



## Processo de Fabricação de Pastilhas de $UO_2$



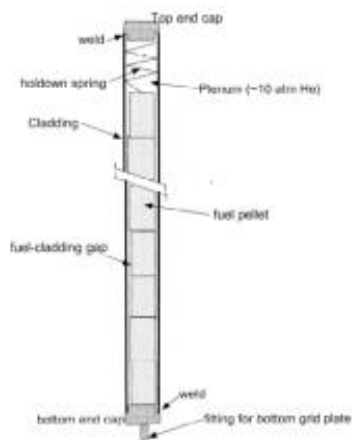


## Fuel pellets grouped into fuel pins and assemblies



- Fuel height ~ 93 in. (3.7 m)
- 186 pellets/pin
- 264 pins/assembly
- 49,000 pellets/assembly
- 193 assemblies/core
- 9,473,000 pellets/core
- 1/3 of core replaced per refuel
- Refuel every 18 months
- 3,158,000 pellets/reload/reactor
- 104 commercial reactors in U.S.

## LWR fuel elements



### 1000 MWe light water reactor

Quantity of fuel ( $UO_2$ ), tons	100
Quantity of Zr, tons	25
Quantity of SS, tons	5
Control Materials*, tons	2
Neutron Fluxes: $n/cm^2 \cdot s$	
Thermal	$3 \times 10^{13}$
Fast ( $\sim 0.2$ MeV)	$5 \times 10^{11}$
Irradiation time, years	3 - 5

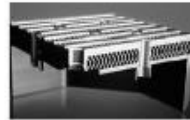
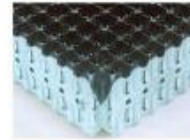
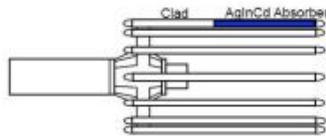
### PWR fuel element characteristics

Fuel	$UO_2$ , up to 5% enriched in $^{235}U$
Fuel-pellet density	95% of theoretical density
Cladding	Zircaloy
Maximum cladding temperature	340°C
Maximum fuel temperature	1500°C
Coolant temperature	280 → 320°C
Maximum rod linear power	~400 W/cm
Fuel assembly	square, 20x20 cm (16x16 rods)
Fuel-rod outside diameter	10.7 mm
Cladding thickness	0.5 mm
Initial fuel-cladding radial gap	80 $\mu$ m
Length of fuel portion	365 mm
Length of plenum	20 cm

\* Ag-Cd-In alloy (PWR); B,C (BWR);  $Gd_2O_3$  (mixed with  $UO_2$ )

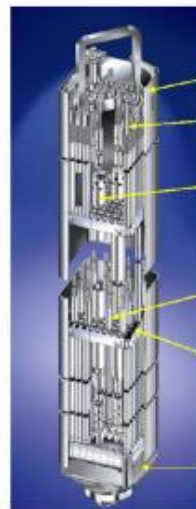
## Fuel Assembly – PWR

- Fuel Assembly
  - Fuel rods
    - Cladding
    - Pellets
  - Grids (Spacers)
  - Guide tubes
  - Nozzles (tie plates)
- Control Rods



## BWR Fuel

- Fuel Assembly
  - Fuel rods
    - Cladding
    - Pellets
  - Spacers
  - Water Rods / Box
  - Tie Plates
  - Channel
- Control Blades



Interactive Channel

Upper Tie Plate

Water Rods

Part Length Fuel Rods

Zircaloy Ferrule Spacers

Lower Tie Plate  
Debris Filter



## Fuel Element Materials

- Fuel Materials
  - Oxides:  $\text{UO}_2$ ,  $(\text{U,Pu})\text{O}_2$
  - Carbides:  $\text{UC}$ ,  $(\text{U,Pu})\text{C}$
  - Nitrides:  $\text{UN}$ ,  $(\text{U,Pu})\text{N}$
  - Metal Alloys:  $\text{U-Pu-Zr-Mo}$
  - Others:  $\text{UAl}_x$ ,  $\text{U}_3\text{Si}_2$ ,  $\text{U/Zr hydride}$ ,  $\text{UCO}$
- Bond (Gap) Materials
  - Helium gas
  - Liquid sodium
- Cladding Materials
  - Zirconium Alloys for LWRs
  - Stainless Steels
  - Aluminum Alloys for Research and Test Reactors
  - Refractory Alloys for High Temperature Applications (i.e.,  $\text{W}$ ,  $\text{Ta}$ ,  $\text{Nb}$ ,  $\text{Mo}$ ,  $\text{V}$ )

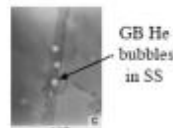
Table 10.1 Nuclear Fuels

Fertile Fuels		Fuels Fissionable by Thermal Neutrons	
			U-235
U-238	→		Pu-239
Th-232	→		U-233

## Cavities & bubbles in nuclear materials

### • Ceramic fuel ( $\text{UO}_2$ )

- closure of pores during fuel-pellet fabrication (sintering step)
- fission gas bubbles ( $\text{Xe}$ ,  $\text{Kr}$ ) produced during irradiation

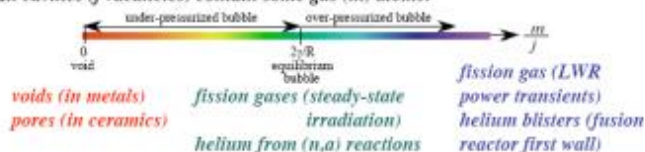


### • Metals

- Helium bubbles produced by
  - \* ions injected from plasma in fusion reactor first wall
  - \*  $(n,\alpha)$  reactions (e.g.  $^{56}\text{Fe} + n \rightarrow ^{53}\text{Cr} + ^4\text{He}$ )
- Voids produced by condensation of irradiation-produced vacancies

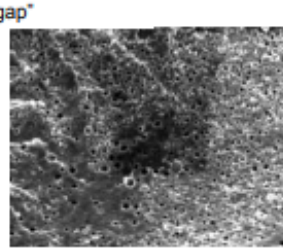


### • All cavities ( $j$ vacancies) contain some gas ( $m$ ) atoms:



## Inchamento/Liberação de Gases de Fissão

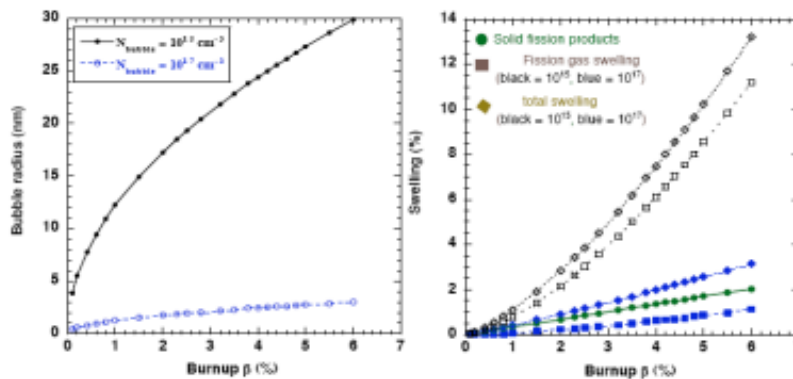
- **Produtos de Fissão**
  - Dois átomos substituem cada átomo de U (ou Pu) que se fissiona
  - 25% dos produtos de fissão são átomos de gases (Kr, Xe)
- **Inchaço do combustível**
  - O combustível incha devido à geração de produtos de fissão
  - Átomos de gases coalescem em **bolhas**, acelerando o inchaço
  - O inchaço do combustível tende à reduzir ou fechar o "gap"
- **Liberação de Gases de Fissão**
  - Parte dos gases de fissão escapa do combustível (menos que 10%)
  - Pressionam o plenum



bolhas no combustível

## Fuel swelling due to fission gases

*Example of fission gas radius and swelling for no re-solution.*



*Less swelling with more numerous, but smaller bubbles!*

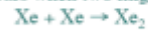
## Fission gas behavior

- **Basic processes involving fission gas bubbles and dissolved gas atoms:**

- 1) Nucleation - atom jumping (diffusion) to form di-atoms, which serve as embryo (nuclei) for bubbles
- 2) Growth - collection of newly-created gas atoms by diffusion from the solid to the bubble
- 3) Re-solution - Xenon atoms in a bubble are injected into the solid by passage of a fission fragment
- 4) Coalescence - two bubbles join into a single larger bubble
- 5) Release - gas atoms escape by diffusion to grain boundaries or free surfaces

### Bubble nucleation

- Nucleation occurs when two migrating Xe atoms meet and form a di-atom cluster:



- Xe atoms created by fission either nucleate new embryo bubbles by the above reaction, or increase the size of existing (bubble embryo) clusters:



## Research explores safer fuel for nuclear reactors

March 21, 2016 by Shea Bracken

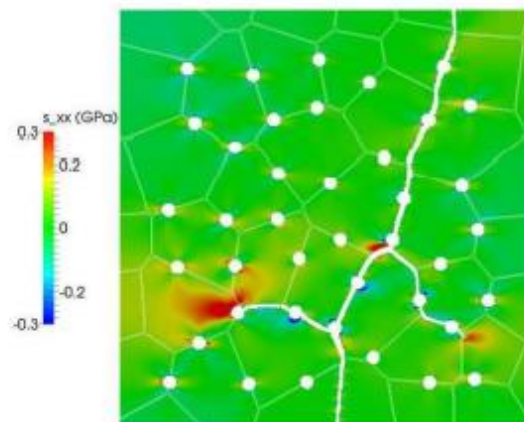
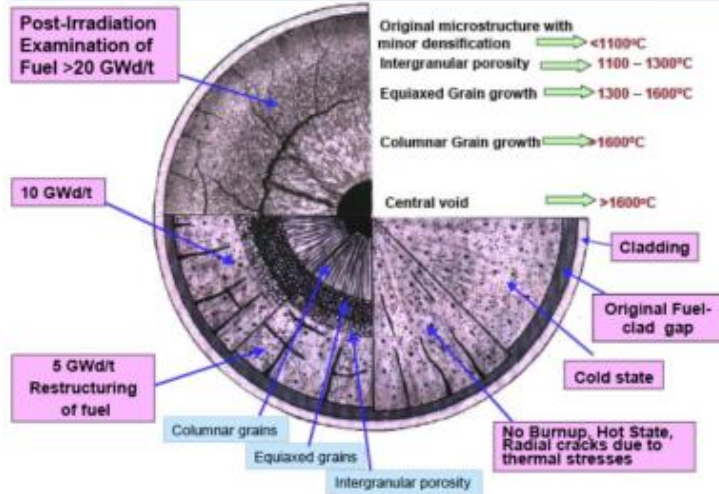


Image shows a mesoscale simulation used to predict the impact of fission gas bubbles on uranium dioxide fracture strength. Similar simulations will be used to investigate microcracking in silicon carbide composite cladding. Credit: Mikiaki Tomita

## Fuel Environment

### Microstructural Evolution in Oxide Fuel



## Fuel Response to Irradiation

Beginning of life



Cracking due to thermal expansion coefficient differences at varying temperatures



After 1 cycle

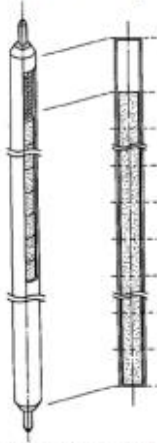


- Pellet swelling
- Gaseous fission products (Xenon, Krypton...)
- Density and porosity evolve with burn-up



## Fuel Behavior During Irradiation

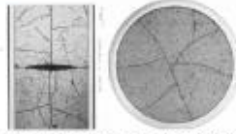
At beginning of life, a fuel element is quite simple ...



Nakajima et al, Nuc Eng Des, 148, 41 (1994)

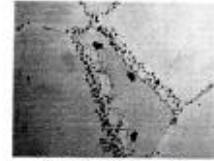


but irradiation brings about substantial complexity



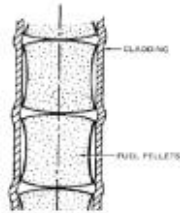
Michel et al, Eng Frac Mech, 75, 3581 (2008)

**Fuel Fracture**



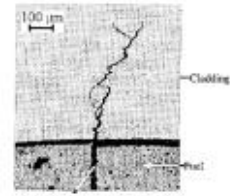
Olander, p. 323 (1978)

**Fission Gas**



Olander, p. 584 (1978)

**Multidimensional Contact and Deformation**



Bentejac et al, PCI Seminar (2004)

**Stress Corrosion Cracking Cladding Failure**